

Zeitschrift:	Cahiers d'archéologie romande
Herausgeber:	Bibliothèque Historique Vaudoise
Band:	188 (2022)
Artikel:	Mormont III : archéo-anthropologie du Mormont : (Eclépens et la Sarraz, Canton de Vaud) : fouilles 2006-2011
Autor:	Moinat, Patrick / Perréard Lopreno, Geneviève / Brunetti, Caroline
Kapitel:	11: Identité biologique et caractéristiques démographiques des restes humains
DOI:	https://doi.org/10.5169/seals-1068404

Nutzungsbedingungen

Die ETH-Bibliothek ist die Anbieterin der digitalisierten Zeitschriften auf E-Periodica. Sie besitzt keine Urheberrechte an den Zeitschriften und ist nicht verantwortlich für deren Inhalte. Die Rechte liegen in der Regel bei den Herausgebern beziehungsweise den externen Rechteinhabern. Das Veröffentlichen von Bildern in Print- und Online-Publikationen sowie auf Social Media-Kanälen oder Webseiten ist nur mit vorheriger Genehmigung der Rechteinhaber erlaubt. [Mehr erfahren](#)

Conditions d'utilisation

L'ETH Library est le fournisseur des revues numérisées. Elle ne détient aucun droit d'auteur sur les revues et n'est pas responsable de leur contenu. En règle générale, les droits sont détenus par les éditeurs ou les détenteurs de droits externes. La reproduction d'images dans des publications imprimées ou en ligne ainsi que sur des canaux de médias sociaux ou des sites web n'est autorisée qu'avec l'accord préalable des détenteurs des droits. [En savoir plus](#)

Terms of use

The ETH Library is the provider of the digitised journals. It does not own any copyrights to the journals and is not responsible for their content. The rights usually lie with the publishers or the external rights holders. Publishing images in print and online publications, as well as on social media channels or websites, is only permitted with the prior consent of the rights holders. [Find out more](#)

Download PDF: 17.01.2026

ETH-Bibliothek Zürich, E-Periodica, <https://www.e-periodica.ch>

11. IDENTITÉ BIOLOGIQUE ET CARACTÉRISTIQUES DÉMOGRAPHIQUES DES RESTES HUMAINS

Geneviève Perréard Lopreno¹⁵⁶

11.1. INTRODUCTION

Dans ce contexte de découverte si particulier qu'est le site du Mormont, on s'interroge bien naturellement sur l'identité des personnes dont les corps ou parties de corps ont été enterrés dans ces fosses.

L'étude présentée ici s'intéresse à décrire et analyser la composition démographique des restes humains mis au jour. Il s'agit d'établir les modalités du «recrutement», selon le terme bien établi maintenant dans le domaine de l'archéologie funéraire¹⁵⁷. Cette approche vise, en premier lieu, à mettre en évidence d'éventuels indices de sélection de personnes en fonction de paramètres tels le sexe ou l'âge au décès et secondement d'établir si certaines pratiques de traitement des corps ou de particularités des dépôts sont à mettre en lien avec l'identité biologique. Ce travail traite d'un aspect anthropologique parmi de nombreux autres possibles. Des interrogations relatives à l'origine populationnelle de ces individus, à savoir s'ils font partie d'une communauté locale ou allochtone, ou aux éventuels liens biologiques les reliant, pourront être abordées ultérieurement au moyen d'analyses paléogénétiques et isotopiques, entre autres.

L'analyse des caractéristiques démographiques de l'échantillon de population est menée à l'aide de comparaisons avec des référentiels issus de la démographie historique. Les tables-type de mortalité élaborées par

I. Séguy et L. Buchet¹⁵⁸ à partir de données réunies pour un grand nombre de populations historiques sont utilisées à cet effet. Les conditions de vie de ces populations se rapportent à une situation qualifiée d'ancien régime démographique, soit avant les profondes mutations sanitaires liées, entre autres, à l'introduction des vaccins, puis des antibiotiques. On considère que la mortalité des populations anciennes, pour un mode de vie sédentaire, devait s'approcher de ces conditions préindustrielles. La démarche vise à prendre certains paramètres de ces populations naturelles historiques comme modèles et de déterminer si les échantillons du Mormont s'écartent ou non de ces valeurs de référence.

Pour rappel et de manière à cerner les facteurs qui cadrent et limitent cette approche relativement aux spécificités de l'échantillon de population dont il est question, les éléments archéologiques et anthropologiques qui contribuent à caractériser les découvertes du Mormont sont ici succinctement énumérés. Les découvertes s'inscrivent dans un contexte qui n'est pas à priori un lieu d'inhumation. Des squelettes ont été retrouvés entiers, partiels ou sous forme d'ossements isolés et des cadavres ont été soumis à différents traitements avant leur dépôt dans les fosses. Les causes de décès ne sont pas naturelles dans un certain nombre de cas. Il semble à ce jour que l'étendue des fouilles permette d'envisager que l'échantillon soit représentatif de l'ensemble du site. Les méthodes de fouilles ont potentiellement pu influencer la préservation et donc la représentativité des ossements, tout comme un état de conservation du matériel osseux souvent mauvais. Ainsi, l'ensemble de ces paramètres, alliés encore au facteur temps, et les

¹⁵⁶ Laboratoire d'archéologie préhistorique et anthropologie. Institut F.A. Forel, sciences de la Terre et de l'environnement. Université de Genève | ArchANTHRO, Genève.

¹⁵⁷ Masset 1987.

¹⁵⁸ Séguy et Buchet 2012.

possibilités multiples de recrutement de cet étrange assemblage, rendent l'établissement du profil de cette «population» composite bien délicat. Néanmoins, les questions suivantes sont posées :

- la structure démographique est-elle compatible avec les décès d'une population naturelle ?
- peut-on exclure ou mettre en évidence que certains groupes d'âges ou un groupe particulier aient été l'objet de ces traitements singuliers ?

11.2. MATÉRIEL

L'échantillon retenu pour cette analyse est le résultat du décompte du NMI établi en collaboration avec P. Moinat. L'ensemble du matériel est listé en **figure 192** et ordonné en fonction des catégories de dépôt telles qu'elles ont été définies par P. Moinat (voir chap. 2.3.3). La **figure 192** contient les indications de sexe et d'âge au décès ainsi que la décision relative à l'inclusion ou non dans le NMI.

11.3. CADRE MÉTHODOLOGIQUE

11.3.1. ANTHROPOLOGIE

Les méthodes mobilisées pour l'identification biologique des restes osseux ont été multiples étant donné leur conservation parfois très partielle. L'estimation de l'âge au décès des immatures a pu être établie dans bon nombre de cas sur la base de la maturation dentaire¹⁵⁹, mais il a également fallu recourir à des comparaisons de dimensions et de formats¹⁶⁰. L'estimation du sexe des adultes a été établie par des moyens variés, des plus fiables, c'est-à-dire sur la base de critères morphologiques ou métriques sur l'os coxal¹⁶¹, aux plus discutables, comme les traits morphologiques crâniens ou des dimensions et des formats d'éléments infracrâniens¹⁶². Les décisions ont toujours été prises dans un esprit de précaution. L'aspect le plus délicat consiste en l'estimation de l'âge au décès des adultes. À nouveau, de multiples indicateurs ont été mobilisés¹⁶³. Étant donné l'hétérogénéité de ces derniers, les résultats contribuent certes à caractériser les individus, mais ne peuvent être

mobilisés collectivement dans une démarche de type paléodémographique. Les résultats sont reportés dans le catalogue, en détail, et succinctement dans la **figure 192**.

11.3.2. MODÈLES ISSUS DE LA DÉMOGRAPHIE HISTORIQUE

Des paramètres issus de nouvelles tables-type de mortalité préindustrielle ou Standard préindustriel sont pris en référence¹⁶⁴. Ces tables sont le résultat de la combinaison des schémas de mortalité de 167 populations ayant vécu entre la fin du 17^e siècle pour les plus anciennes, et pour les plus récentes au début du 20^e siècle. Les paramètres d'entrée dans les tables sont des estimateurs paléodémographiques. Parmi les entrées possibles, le rapport des décès entre les immatures de 5 à 19 ans sur les survivants à 5 ans, noté 15P5 (noté simplement P par la suite) a été retenu¹⁶⁵. Sans entrer dans le détail, notons simplement que nous avons retenu deux valeurs de cet indicateur. La première ($P=0.114$)¹⁶⁶ est représentative du schéma de mortalité moyen du Standard préindustriel. La seconde valeur de cet indicateur ($P=0.218$)¹⁶⁷ correspond aux conditions de vie les plus défavorables connues pour ces populations historiques et est, par ailleurs, proche de celle estimée pour des populations archéologiques sédentaires néolithiques ($P=0.253$)¹⁶⁸. Précisons que par défavorable on entend, par exemple, qu'un enfant sur deux ne dépasse pas l'âge de 5 ans et que près de 75 % de la population a disparu avant l'âge adulte. On doit comprendre ces deux valeurs de l'estimateur P comme les bornes d'un intervalle permettant de couvrir une variété de schémas démographiques englobant des situations probables pour une période protohistorique.

Concrètement, la démarche suivante est appliquée : dans un premier temps, en prenant pour modèles les schémas de mortalité donnés par les indicateurs P, la représentation en proportion des immatures entre eux sera évaluée, indépendamment de la présence des adultes. Dans un second temps, on cherchera à savoir si la proportion relative entre le nombre d'immatures et d'adultes identifiés pourrait être compatible avec les décès d'une population naturelle. Si tel n'est pas le cas, nous aurions alors des indices de sélection.

¹⁵⁹ Ubelaker 1978; Moorrees 1963a et b.

¹⁶⁰ Maresh 1970; Scheuer et Black 2000; Perréard Lopreno et Gallay 2012.

¹⁶¹ Bruzek 2002; Murail et al. 2005.

¹⁶² Acsádi et Nemeskéri 1970; Ferembach et al. 1979; Graw et al. 2005.

¹⁶³ Miles 1963; Acsádi et Nemeskéri 1970; Lovejoy 1985; Schmitt 2001; Risseech et al. 2006.

¹⁶⁴ Séguy et al. 2006; Séguy et Buchet 2012.

¹⁶⁵ Bocquet-Appel 2008.

¹⁶⁶ Séguy et Buchet 2012, p.181.

¹⁶⁷ Séguy et Buchet 2012, tables-types logits.

¹⁶⁸ Bocquet-Appel et Bar-Yosef 2008.

11.4. RÉSULTATS

11.4.1. CARACTÉRISTIQUES EN TERMES DE SEXE ET D'ÂGE DE L'ENSEMBLE DE L'ÉCHANTILLON

Le décompte du nombre minimum d'individus a permis d'établir la présence de 23 adultes et 20 immatures (fig. 185 et 192). Étant donné que bon nombre d'individus ont été identifiés à partir de fragments d'os isolés, l'effectif des adultes de sexe indéterminé est élevé, soit

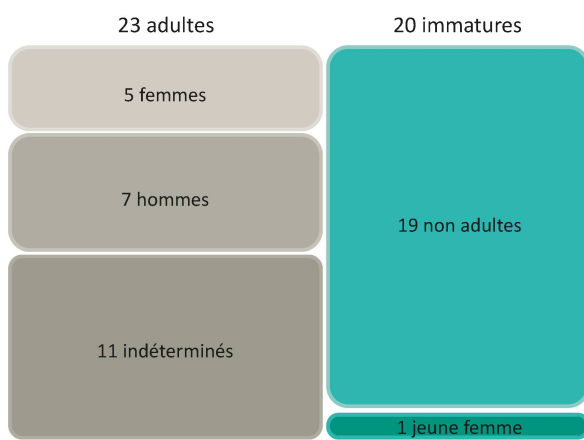


Fig. 185. Caractéristiques démographiques de l'ensemble des vestiges humains mis au jour sur le site du Mormont.

11 sujets pour 5 femmes et 7 hommes. Les deux sexes semblent ainsi représentés sans sélection particulière perceptible. Le sexe des squelettes immatures ne peut être déterminé par le biais de dimensions ou de distinctions morphologiques, il faudra donc compter sur d'éventuelles analyses ADN pour obtenir cette information dans le futur.

Parmi les immatures, des sujets de toutes les classes d'âges ont été retrouvés dans les dépôts, à l'exception de périnataux et d'enfants décédés durant les premiers mois de la vie (fig. 186 et 192). L'enfant le plus jeune identifié, par ailleurs un dépôt de corps complet, est décédé dans un intervalle estimé entre 10 et 15 mois (7-17 mois au plus). Les quelques estimations de l'âge au décès des adultes possibles ont montré que tous les grands groupes d'âges sont représentés (jeunes, matures comme âgés).

11.4.2. INDICES DE SÉLECTION DES INDIVIDUS EN RELATION AVEC L'IDENTITÉ BIOLOGIQUE?

11.4.2.1. ESTIMATION DE LA PRÉSENCE RELATIVE DES IMMATURES ENTRE EUX

Les effectifs décomptés par classe d'âges démographique sont donnés dans la figure. 187. On constate que les intervalles d'estimation sont larges et dans de nombreux cas il n'est pas possible de placer un

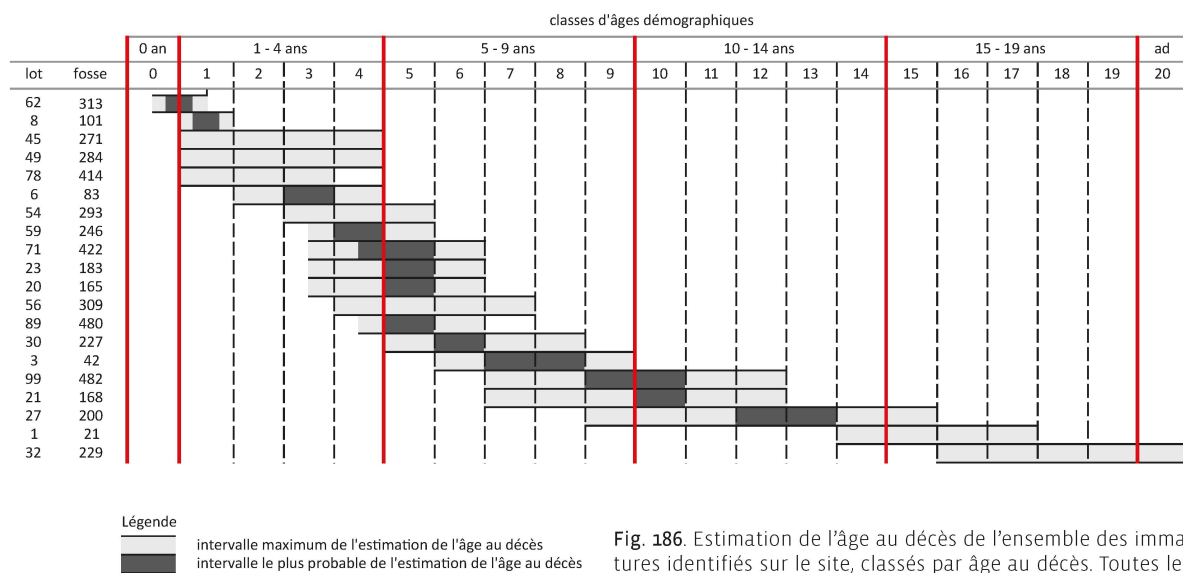


Fig. 186. Estimation de l'âge au décès de l'ensemble des immatures identifiés sur le site, classés par âge au décès. Toutes les classes sont représentées à l'exception des périnataux et des petits enfants jusque vers l'âge de 1 an.

Classes d'âges démographiques (ans)	D _{sq.} (résultats anthro)	D _{sq.} (probabilités)
D (0-1)	0	0.50
D (0-1) ou (1-4)	1	
D (1-4)	5	8.50
D (1-9)	7	
D (5-9)	2	7.10
D (5-14)	2	
D (10-14)	1	2.10
D (10-19)	1	
D (15-19)	0	1.60
D (15-25)	1	
D (>20)		0.20
N tot	20	20.0

Abréviations : Dsq : effectif des décès obtenus par l'étude des squelettes

Fig. 187. Effectifs de l'ensemble des immatures identifiés sur le site, par classe d'âges au décès. L'âge au décès estimé de bon nombre de ces enfants se trouve à cheval sur deux classes d'âges quinquennales.

individu dans une classe d'âge démographique unique. Or, la comparaison avec des données de la démographie historique contraint de travailler avec des classes d'âges quinquennales.

Afin de contourner cet écueil méthodologique, les effectifs sont habituellement répartis dans les classes d'âges selon le principe de conformité (Sellier 1995, p. 135).

Appliquée à l'échantillon de population du Mormont, cette approche ne met en évidence aucune anomalie majeure, à l'exception de l'absence quasiment totale de la classe 0 représentée par un seul individu (voir fig. 190 *infra*). Pour arriver à cette distribution «normale», il est toutefois nécessaire de ventiler l'ensemble des individus dont l'âge estimé chevauche les classes d'âges 1-4 et 5-9 ans dans la première des deux classes quinquennales. Au vu des données biologiques individuelles acquises pour chaque individu, cette situation est peu plausible, puisqu'elle revient à considérer que l'âge des moins de cinq ans a été systématiquement surdéterminé.

Nous avons donc cherché à nuancer cette approche en considérant la probabilité qu'ont les individus d'appartenir à l'une ou à l'autre des classes d'âges démographiques. Par exemple, l'individu de la fosse 309, dont l'intervalle au décès est estimé entre 4 et 7 ans a 25 % de probabilité d'être dans la classe 1-4 ans et 75 % dans la classe 5-9 ans. Les probabilités de tous les individus sont ainsi additionnées et donnent l'effectif total retenu par classe démographique (colonne de droite dans la fig. 187).

La figure 188 illustre les proportions de la population immature du Mormont par classe d'âges confrontées aux proportions calculées pour deux schémas de mortalité issus de la démographie historique. On notera que la classe d'âge 0 an a été écartée de la représentation dans la mesure où elle n'existe pour ainsi dire pas au Mormont. Parmi les classes d'âges représentées, on ne note pas de sélection particulière. Les sujets sont présents de manière cohérente avec les quotients de

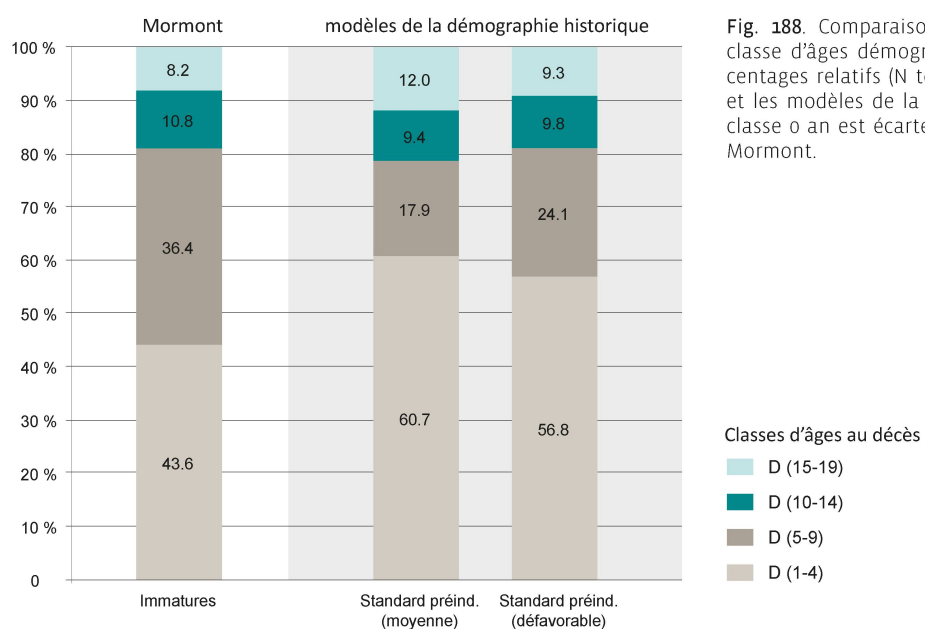


Fig. 188. Comparaison des effectifs de chaque classe d'âges démographique exprimés en pourcentages relatifs (N total = 20) entre le Mormont et les modèles de la démographie historique. La classe 0 an est écartée, puisqu'il n'y en a pas au Mormont.

mortalité des schémas obtenus pour les populations du Standard préindustriel, pour des conditions de vie moyennes comme très défavorables. Une discordance est toutefois notable entre les proportions des 1-4 et des 5-9 ans archéologiques relativement à celles des modèles. Étant donné les faibles effectifs en jeu et l'ensemble des paramètres limitatifs évoqués en introduction, on retiendra, dans une approche très globale, que les plus jeunes individus (classe 0 et probablement aussi 1-4) sont sous-représentés au Mormont.

11.4.2.2. ESTIMATION DE LA PRÉSENCE DES IMMATURES RELATIVEMENT AU NOMBRE MINIMUM D'ADULTES

Une seconde approche comparative est tentée de manière à consolider ou nuancer ces premières informations. Le point de départ en est le NMI des adultes qui est établi à 23. En faisant l'hypothèse que toutes ces personnes faisaient partie d'une même communauté, cet effectif est utilisé pour extrapoler le nombre d'enfants qui auraient dû naître, puis mourir à différents âges pour justifier ce nombre d'adultes survivants. Les quotients de mortalité (ou risque de mourir) pour chaque classe d'âges des immatures, issus de nos modèles de démographie historique, déterminent ces effectifs attendus.

La comparaison des effectifs des décès théoriques (D théoriques) et des décès archéologiques (D squelettes) indique que l'effectif total des immatures identifiés au Mormont ($n = 20$ entre 1 et 19 ans) est supérieur à celui estimé par les modèles, soit environ un intervalle possible entre 7 et 15 enfants (fig. 189).

La démarche proposée ici nécessite que l'on n'attache pas trop d'importance aux nombres précis, mais que l'on prenne en considération les ordres de grandeur et les intervalles, comme l'illustre la figure 190. Les schémas de mortalité sélectionnés englobent une large variation de possibles (ce que les quotients de mortalité inclus dans la figure 189 permettent d'apprécier). Deux informations sont à retenir dans cette construction. En premier lieu, les données archéologiques qui nous sont parvenues semblent indiquer que les immatures sont présents en un peu plus grand nombre que les adultes, ceci donc proportionnellement à la représentation des différentes classes d'âges dans une population naturelle. Et, parmi ces classes de non-adultes, cela pourrait être les 5-9 ans (3-10 ans ?) qui contribueraient à cette surreprésentation. Cependant, si l'on revient aux données archéologiques, le nombre de restes adultes pour lesquels il n'a pas été possible de déterminer s'ils appartiennent à des sujets adultes déjà décomptés ou non dans le NMI est important (41 os isolés postcrâniens, dont seulement cinq comptent pour l'établissement du NMI).

Classe d'âges (ans)	Standard préindustriel (moy.) - P = 0.118			Standard préindustriel (défavor.) - P = 0.214			Mormont
	Qx	S théoriques	D théoriques	Qx	S théoriques	D théoriques	
0-1	200.00	38.2	7.6	283.34	52.3	14.8	0.5
1-4	150.00	30.6	4.6	219.29	37.5	8.2	8.5
5-9	52.00	26.0	1.4	119.42	29.3	3.5	7.1
10-14	29.00	24.6	0.7	55.06	25.8	1.4	2.1
15-19	38.00	23.9	0.9	55.28	24.3	1.3	1.6
> 20	23*			23*			
total théorique immatures		15.2			29.3		
total théorique immatures > 1 an		7.6			14.5		
total immatures Mormont							20

Légende : Qx : quotient de mortalité exprimés en ‰ ; S = survivants ; D = décès ; * NMI des adultes (> 20 ans) au Mormont.

Fig. 189. Ensemble des données mobilisées pour estimer la représentation des immatures relativement au nombre d'adultes ($N > 20$ ans).

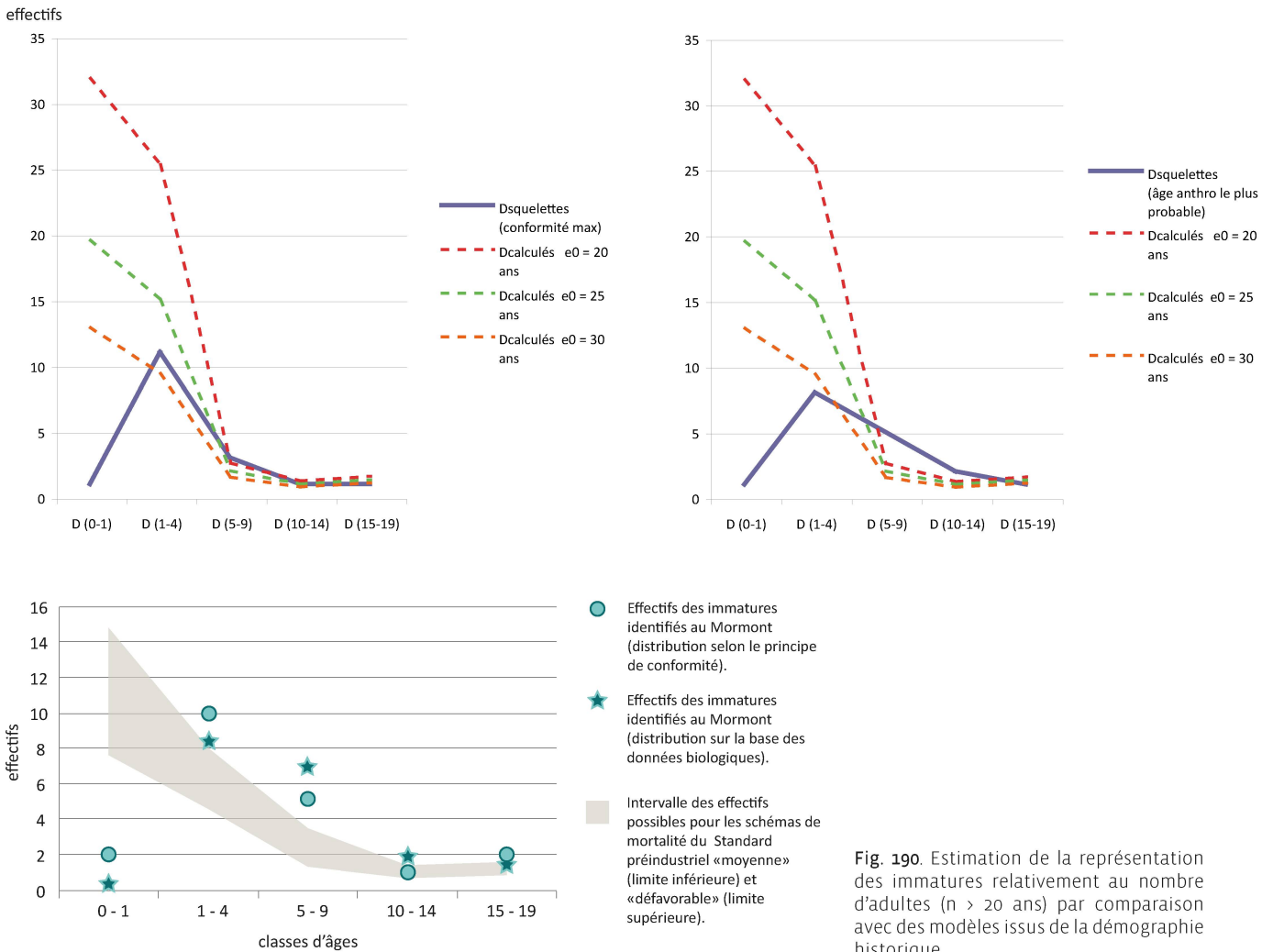


Fig. 190. Estimation de la représentation des immatures relativement au nombre d'adultes ($n > 20$ ans) par comparaison avec des modèles issus de la démographie historique.

Dès lors, il est probable et même plutôt certain que quelques adultes nous aient échappé.

11.4.2.3. ESTIMATION DE LA REPRÉSENTATION DES IMMATURES PAR CATÉGORIE DE DÉPÔT

La figure 191 illustre les résultats de l'estimation de l'âge au décès des immatures en tenant compte des catégories de dépôts établies par P. Moinat. En gardant en mémoire les multiples précautions limitant l'interprétation des résultats, la distribution des âges au décès des immatures ne paraît pas totalement aléatoire. Dans l'état actuel de l'échantillon, on relève que la grande majorité des enfants dont les corps entiers ont été déposés dans une fosse ont dépassé l'âge de 3 ans (fig. 191). Ce petit ensemble se démarque particulièrement de celui formé des individus identifiés par un ou quelques os épars.

11.5. DISCUSSION ET CONCLUSION

Le recours à la démographie historique s'effectue le plus souvent pour l'étude d'une population provenant d'une nécropole, où l'on peut faire l'hypothèse qu'une communauté est établie sur le long terme à proximité et que l'évolution du cimetière est un miroir de la société vivante. Au Mormont, les résultats de l'identification de l'ensemble des restes humains nous ont frappée par la similitude de la structure démographique avec ce que l'on pourrait s'attendre à trouver dans un cimetière. En effet, des adultes des deux sexes et de toutes les grandes classes d'âges ainsi que des enfants de presque tous les âges ont été enterrés dans les fosses. Même le déficit (voire l'absence) des enfants décédés avant l'âge d'un an est un phénomène récurrent dans les espaces funéraires de différentes époques¹⁶⁹. La question s'est

¹⁶⁹ Blaizot et al. 2003 ou Perez 2010, par exemple.

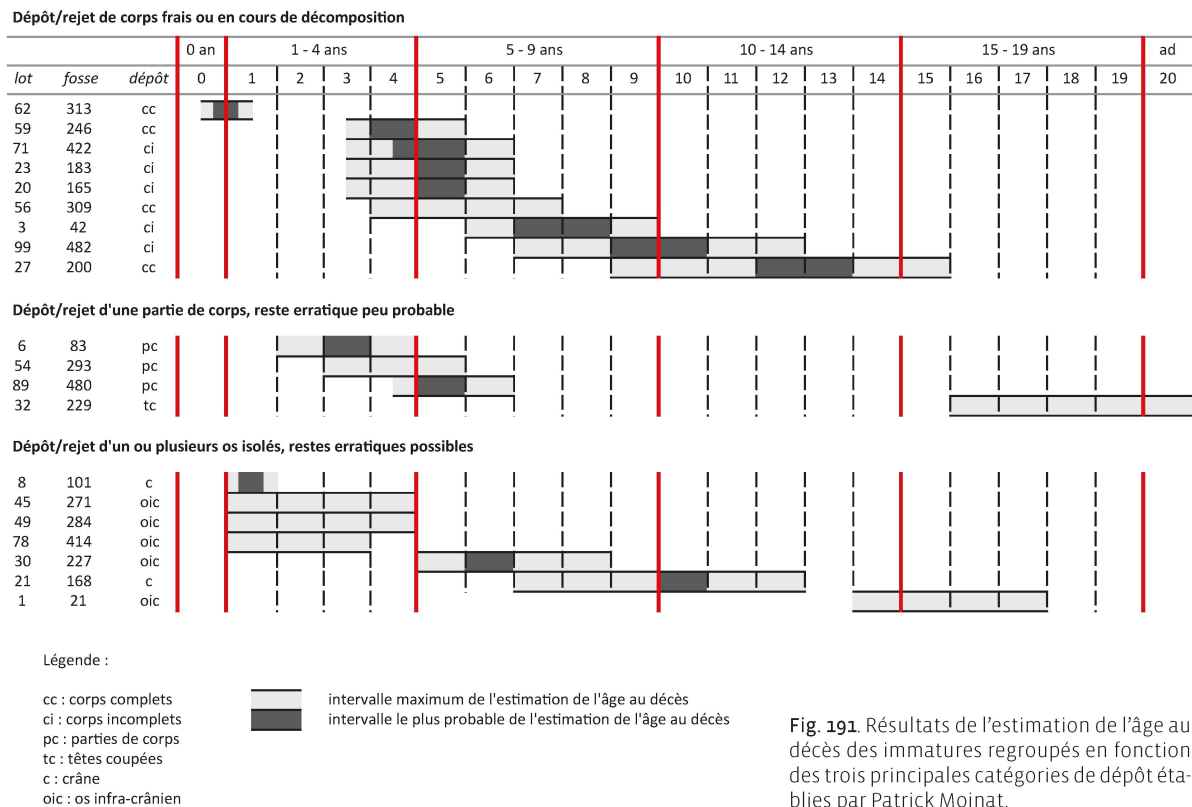


Fig. 191. Résultats de l'estimation de l'âge au décès des immatures regroupés en fonction des trois principales catégories de dépôt établies par Patrick Moinat.

alors posée d'envisager un recrutement des personnes au sein des décès d'une population naturelle. C'est donc en confrontant certains paramètres de l'échantillon du Mormont avec des schémas de mortalité de populations historiques que l'on a cherché à savoir si cette structure pouvait être conforme à une mortalité naturelle. Quels qu'en soient les résultats, ils ne peuvent constituer une démonstration, mais permettent d'alimenter un faisceau de convergences.

L'échantillon des adultes, malgré la préservation non seulement partielle, mais également souvent médiocre des ossements, apporte toutefois quelques éléments fondamentaux à la discussion. Il atteste de la présence des deux sexes, apparemment en proportions relativement équitables, et permet d'exclure que les individus aient été sélectionnés dans une seule classe d'âge. Les jeunes adultes sont peut-être plus nombreux, mais des représentants de toutes les classes d'âges ont été identifiés.

En ce qui concerne les informations apportées par l'étude des immatures, si l'on s'intéresse à leur présence relative en fonction de l'âge, les pourcentages ne se distinguent pas des proportions que l'on s'attendrait

à trouver pour une mortalité attritionnelle. En s'interrogeant sur la présence relative entre immatures et adultes, il se pourrait que les enfants entre 5 et 9 ans soient un peu plus nombreux qu'attendus. Cependant, si l'on considère comme probable qu'un certain nombre de personnes adultes n'ait pu être individualisé parmi les ossements isolés, et que leur effectif réel est donc plus élevé, alors le résultat concordant à retenir de ces analyses est que l'échantillon de population identifié au Mormont ne présente pas d'indices majeurs de sélection sur des critères de sexe ou d'âge.

En l'état des découvertes, on perçoit des différences dans la représentation des immatures par catégorie de dépôt en fonction de l'âge. Les données indiquent que la grande majorité des enfants en dépôt de corps ont dépassé l'âge de 3 ans alors que la plupart des plus jeunes correspondent à des découvertes d'os isolés.

Finalement, face à la multitude des scénarios possibles quant au recrutement de cet échantillon de population, la confrontation des éléments discutés ici avec les informations sur les liens génétiques éventuels unissant ces personnes et des indications sur leur lieu d'origine seront extrêmement précieuses.

Dépôt de corps complet

Lot/ind	anomalie	enfant	adolescent	femme	homme	adulte	ossements présents	NMI
2	37			20-29 ans			corps complet	1
27	200	12-13 ans ± 3 ans					corps complet	1
36	234				40-45 ans		corps complet	2
41	257				> 45 ans		corps complet	3
56	309	4-7 ans					corps complet	2
57	309			prob. mature			corps complet	4
62	313	10-15 mois (7 - 17 mois)					corps complet	3
69	422			adulte			corps complet	5
71	422	4,5-5,5 ans (3 - 6 ans)					corps complet	4
83	481			30-39 ans			corps complet	6

Dépôt de corps incomplet

Lot/ind	anomalie	enfant	adolescent	femme	homme	adulte	ossements présents	NMI
3	42	7-8 ans (6 - 9 ans)					corps sans ceinture pelvienne	5
20	165	5 ± 1,5 ans					corps jusqu'aux genoux	6
23	183	5 ± 1,5 ans					crâne, mandibule, membre supérieur droit et côtes	7
59	246	4 ans (3,5 - 5 ans)					corps sans épaule et avant-bras droit, mains	8
55	304					mature		7
68	417				20-29 ans		corps sans crâne, épaule et humérus gauches	pas un ind
70	422				indét. masculin	adulte	corps jusqu'à mi-hauteur fémur	8
72	422					adulte	corps jusqu'à mi-hauteur fémur	9
99	482	9-10 ans (7 - 12,5 ans)					corps sans membre supérieur droit, avant-bras et main gauche, tibia et pied gauches	9

Dépôt de partie de corps

Lot/ind	anomalie	enfant	adolescent	femme	homme	adulte	ossements présents	NMI
6	83	3 ± 1 ans					crâne, mandibule, clavicule, humérus et ulna gauches	10
60	246			30-60 ans			coxaux, sacrum et fémurs	
48	281	1-4 ans					fragments tibia et fibula	
54	293	3-6 ans					crâne, mandibule et côte	11
65	317					Indét.	épaule et bras gauches	

Dépôt de tête coupée

Lot/ind	anomalie	enfant	adolescent	femme	homme	adulte	ossements présents	NMI
32	229		16 - 20 ans - jeune fille				crânes et 5 premières cervicales	12
39	254				20-29 ans		crâne, mandibule, atlas et axis	10
40	256				24-40 ans		crâne et axis	11
42	258				mature (30-35 ans) - Indét. masculin		crâne, atlas et axis	12

code couleur décomptés :

immature sûr

adulte sûr

CI-DESSUS ET PAGES SUIVANTES:

Fig. 192. Tableau récapitulatif de l'estimation du sexe et de l'âge des restes humains découverts sur le site du Mormont. La liste est organisée en fonction des catégories de dépôt établies par Patrick Moinat. La décision d'inclure ou non l'individu dans le décompte du NMI est indiquée dans la dernière colonne: les immatures sont décomptés en bleu, les adultes en brun. État des découvertes à fin 2011.

11. Identité biologique et caractéristiques démographiques des restes humains

Dépôt d'os isolé : crâne entier, calottes et masques

Lot/ind	anomalie	enfant	adolescent	femme	homme	adulte	ossements présents	NMI
4	52					Indét.	calotte	13
8	101	18 mois ± 6 mois					calotte	13
10	114				Indét.		calotte	14
21	168	10 ans ± 30 mois					calotte	14
24	189					Indét. masculin	calotte	15
25	196					Indét.	calotte	
28	210		adolescent ou jeune adulte				calotte	16
30	227	6 ans (5-8 ans)					masque	15
33	229				20-29 ans		crâne entier	17
37	235					Indét.	calotte	18
46	275				20-29 ans		calotte	19
52	292					Indét. féminin	crâne entier	20
73	434					Indét. masculin	calotte	21
84	559					adulte mature	masque	22

Dépôt d'os isolé : autres éléments

Lot/ind	anomalie	enfant	adolescent	femme	homme	adulte	ossements présents	NMI
1	21		14-17 ans, masc?				coxal gauche	16
77	26					indét.	fémur gauche	
5	80					Indét.	tibia gauche	
7	83	5-9 ans					fémur droit, humérus droit	
8	101	18 mois ± 6 mois					humérus gauche?	
9	105					Indét.	fémur gauche	
11	115			Jeune adulte			clavicule et coxal gauches	
12	117					Indét.	tibia droit	
13	118					Jeune adulte	fémur gauche, qq dents, frontal, humérus et radius	
15	121					Indét.	fragment de pariétal	
16	126		adolescent ou jeune adulte				fémur droit	
17	142					Indét.	scapula droite	
18	146					Indét.	tibia gauche et 2 vertèbres	
19	148	1-4 ou 5-9					2 petits fragments de pariétal et de frontal	
22	176					Indét.	humérus droit	
26	198					Indét.	tibia droit	
29	222					Indét.	tibia droit	
31	227					Indét.	tibia gauche	
34	232					Indét.	humérus brûlé	
35	233		adolescent ou jeune adulte			Indét.	fragments d'occipital, tibia gauche	
38 + 50	251 et 287		adolescent ou jeune adulte				fragments de frontal et de pariétal	23
40	256					Indét.	tibia gauche	
43	259					Indét.	mandibule	
44	267					Indét.	tibia gauche	
45	271	1-4 ans					occipital	17
47	279	5 ans (4,5-7 ans)					dents isolées (maxillaire)	
49	284	1-4 ans					occipital	18
51	292					Indét.	coxal	
53	293					Indét.	tibia droit	

Dépôt d'os isolé: autres éléments

Lot/Ind	anomalie	enfant	adolescent	femme	homme	adulte	ossements présents	NMI
58A	310		adolescent ou jeune adulte, féminin?				humérus droit	
58B	310					Indét.	fémur gauche	
61	246					Indét. féminin	fémur droit	
63	313					Indét.	fragments d'occipital et cervicale (c3 ou c4, éventuellement c5)	?
64	314					Indét.	fémur gauche	
66	407					Indét.	fragment de pariétal	
78	414	1-4 ans (1-3 ans)					occipital	19
67	416					Indét.	côte gauche	
73	434					Indét. masculin	mandibule, scapula droite, fémur gauche	
74	436		adulte ou grand adolescent				coxal	
75	437	1-4 ans (1-2 ans)					pariébral, radius, côte	
76	437					Indét. masculin	clavicule, vertèbre lombaire	
80	558					Indét.	humérus gauche	
81	542					Indét.	humérus et côte droits	
82	483					Indét.	fémur droit	
89	480	5,5 ans (± 1 an)					mandibule	20
95	482					Indét.	ulna droit	
85 à 88	559					Indét.	mandibule, côte, fémur gauche	
100	566				Indét.		coxal gauche, sacrum, fémur gauche	
101	566					adulte mature	maxillaire, mandibule, coxal, tibia	

code couleur décomptes:

immature sûr

adulte sûr